

Zakład Badawczo Leczniczy Chorób Nerwowo – Mięśniowych
Instytut Medycyny Doświadczalnej i Klinicznej PAN
ul.Pawińskiego 5, 02-106 Warszawa
Tel/ fax /4822/ 658 45 01

Badanie wycinka mięśniowego w mikroskopie świetlnym

Nr:13/08

Imię i nazwisko

Wiek: 11

Rozpoznanie: Miopatia

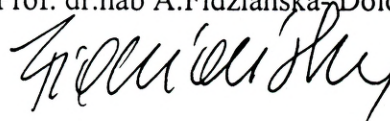
Data pobrania wycinka: 14.04.08r.

Mięsień: quadriceps sin.

Barwienie: H-E, trichrom Gomoriego, DHB, DHM, DPNH, ATP-azy

Wśród włókien mięśniowych o prawidłowej średnicy i strukturze widoczne są pojedyncze włókna z cechami wakuolizacji. Podział na typy metaboliczne zachowany prawidłowo w porównaniu z biopsją wykonaną w roku 2002. Znaczna poprawa polegająca na znacznym zmniejszeniu liczby włókien wykazujących wakuolizację

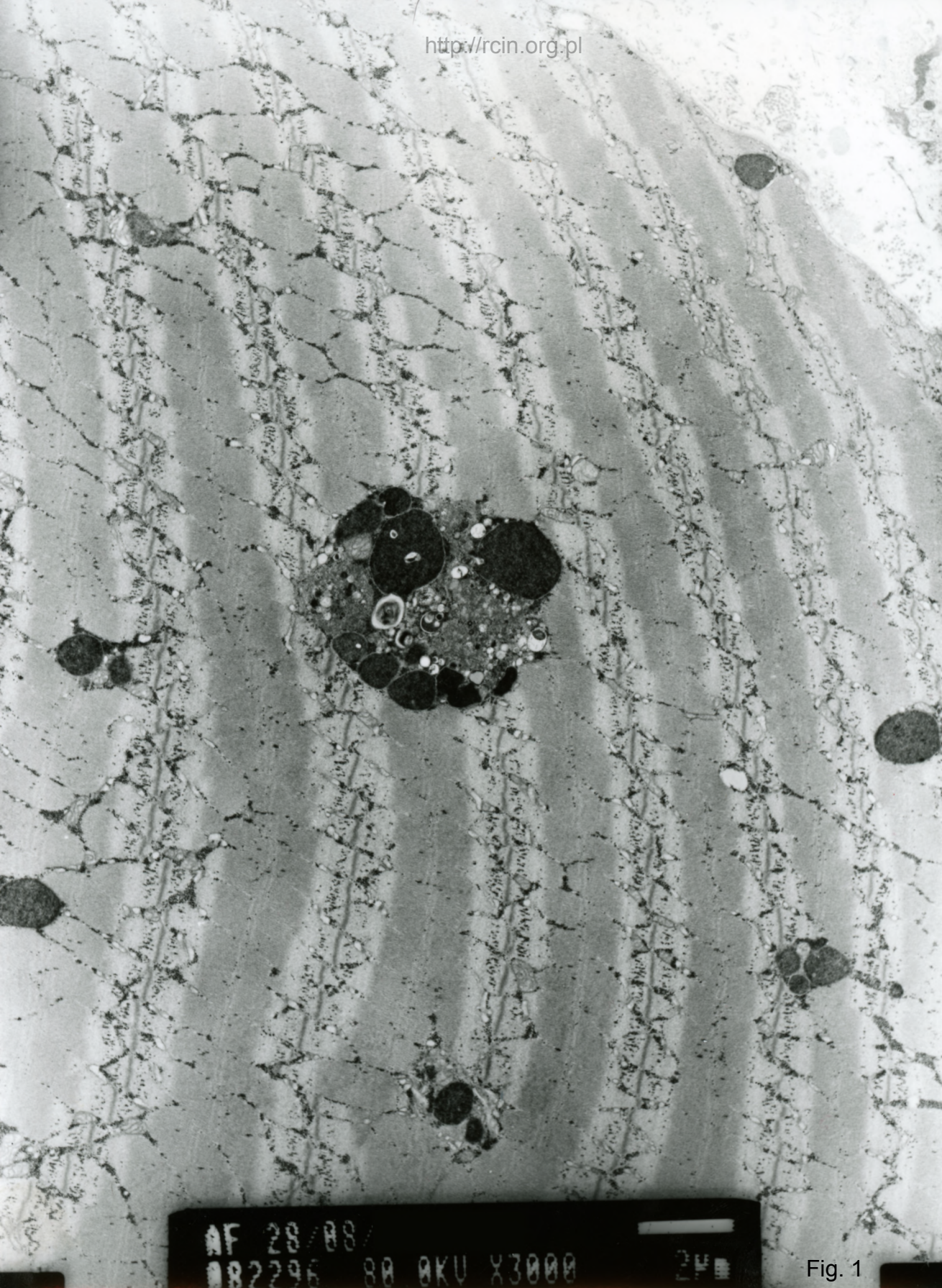
Prof. dr.hab A.Fidziańska-Dolot.



13/08 (28/08 ME), patrz też 9/02

W biopsji stwierdzono zarówno obecność włókien mięśniowych o zachowanej strukturze miofibrili i niezmiennym układzie sarkomerów, jak również zmienione ultrastrukturalnie włókna mięśniowe o zaburzonym przebiegu miofibrili. Obecne jądra położone ośrodkowo. Widoczne wakuole autofagalne wypełnione elektronowo gęstym materiałem oraz ciała mielinopodobne. Licznie występują złogi glikogenu, zarówno w postaci wolnych ziaren w sarkoplazmie jak w postaci obłonionej (Fig. 1-11). Są obszary, w których obserwuje się nagromadzenie struktur wakuolarnych, tam również nasilona jest dezorganizacja miofibrili. W przestrzeni zewnątrzkomórkowej miejscami widoczne intensywne włóknienie (Fig. 12,13).

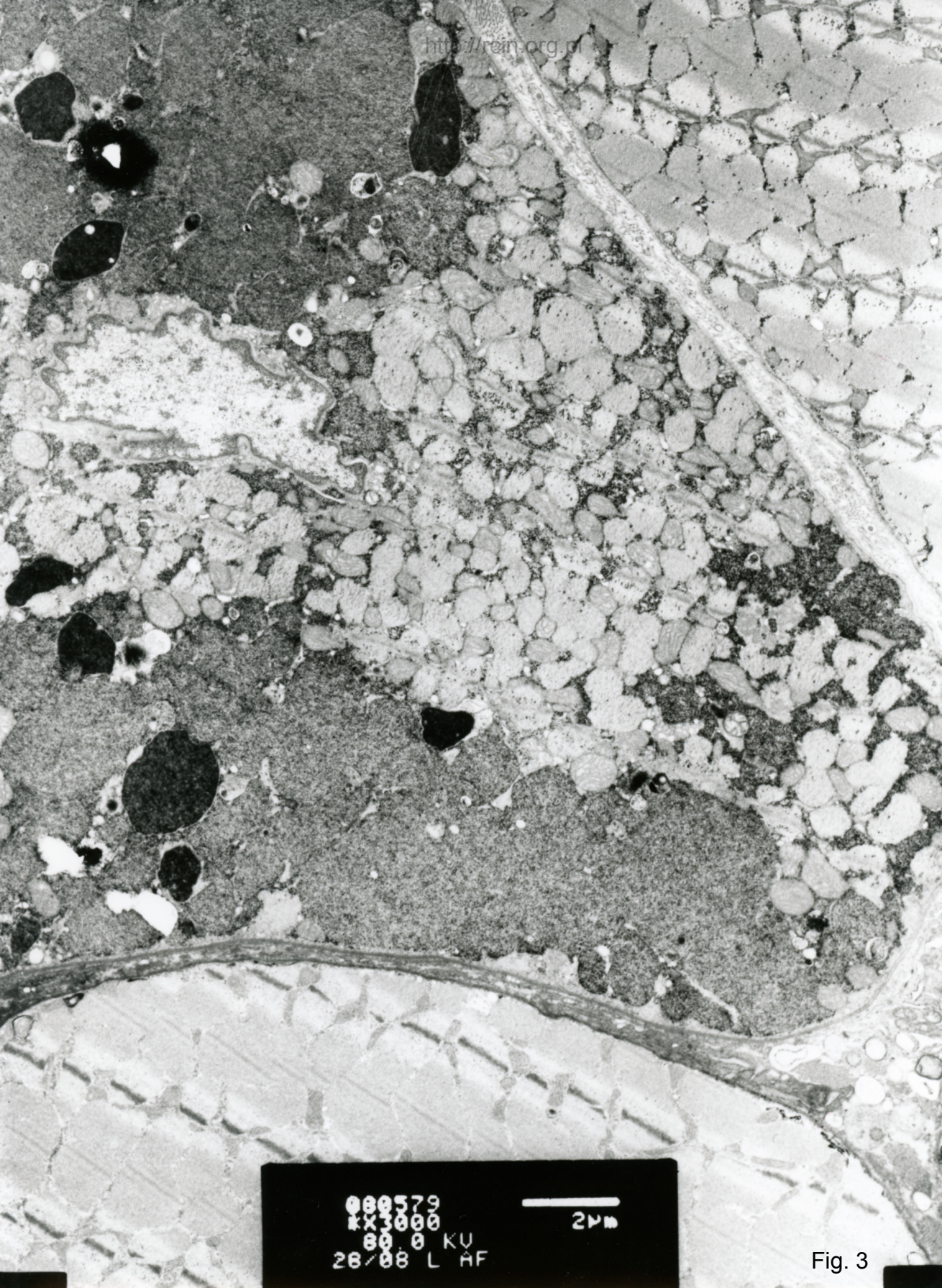
Analysis of the biopsy revealed muscle fibers with preserved myofibril structure and unchanged sarcomere pattern as well as ultrastructurally altered muscle fibers characterized by myofibrils disruption and disorganization. Centrally located nuclei were seen. Autophagal vacuoles filled with electron-dense material were observed and myelin-like bodies were present. Glycogen deposits were abundant, both in form of free granules in the sarcoplasm and as membrane-surrounded deposits (Figs. 1-11). Areas characterized by accumulation of vacuolar structures were observed, where myofibrillar disorganization was intensified. Focally, abundant connective tissue was seen in extracellular space (Figs. 12,13).



AF 28/88
082296 88 8KU X3000

Fig. 1

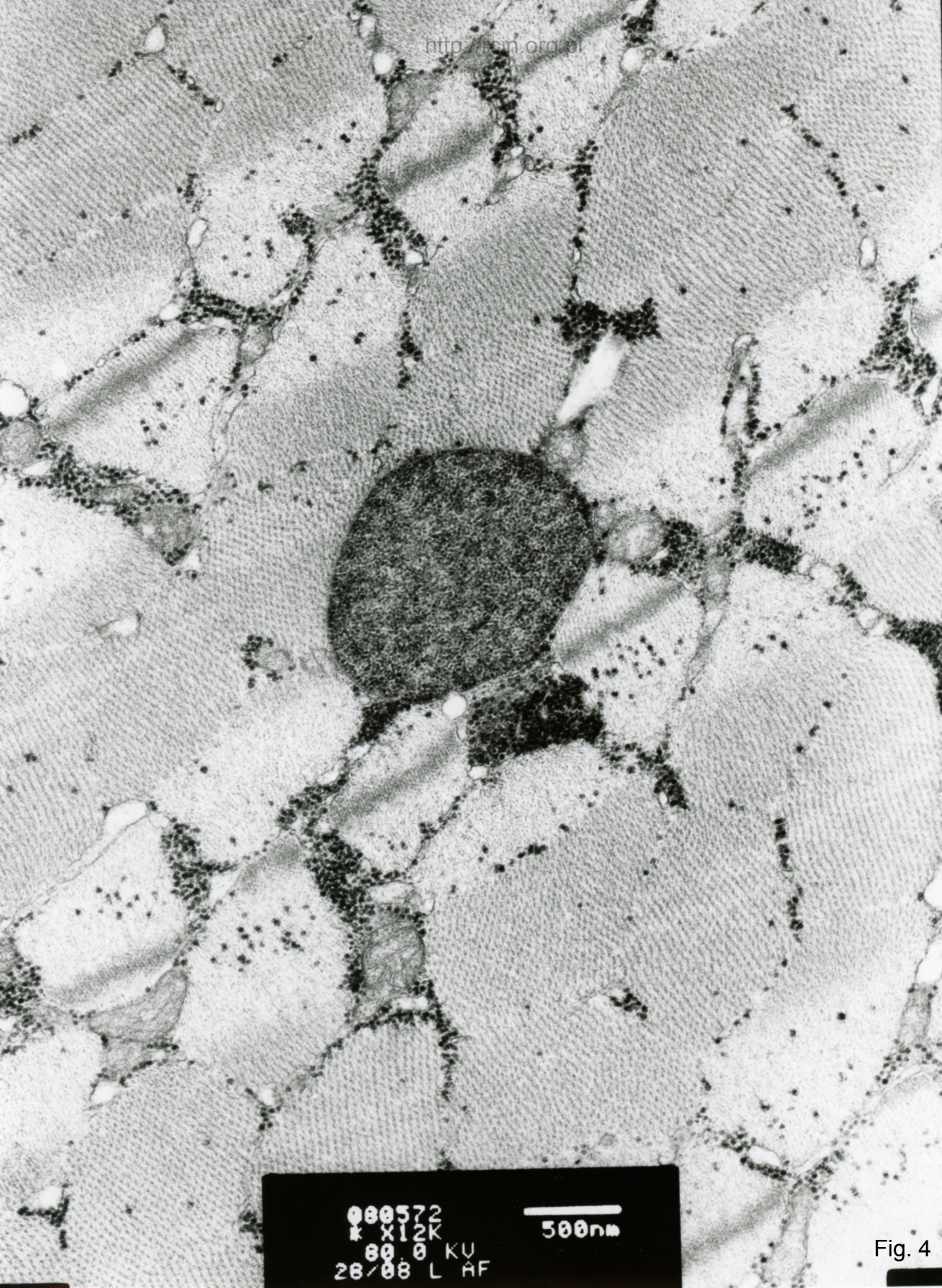




080579
KX3000
80 0 KU
28/08 L HF

2µm

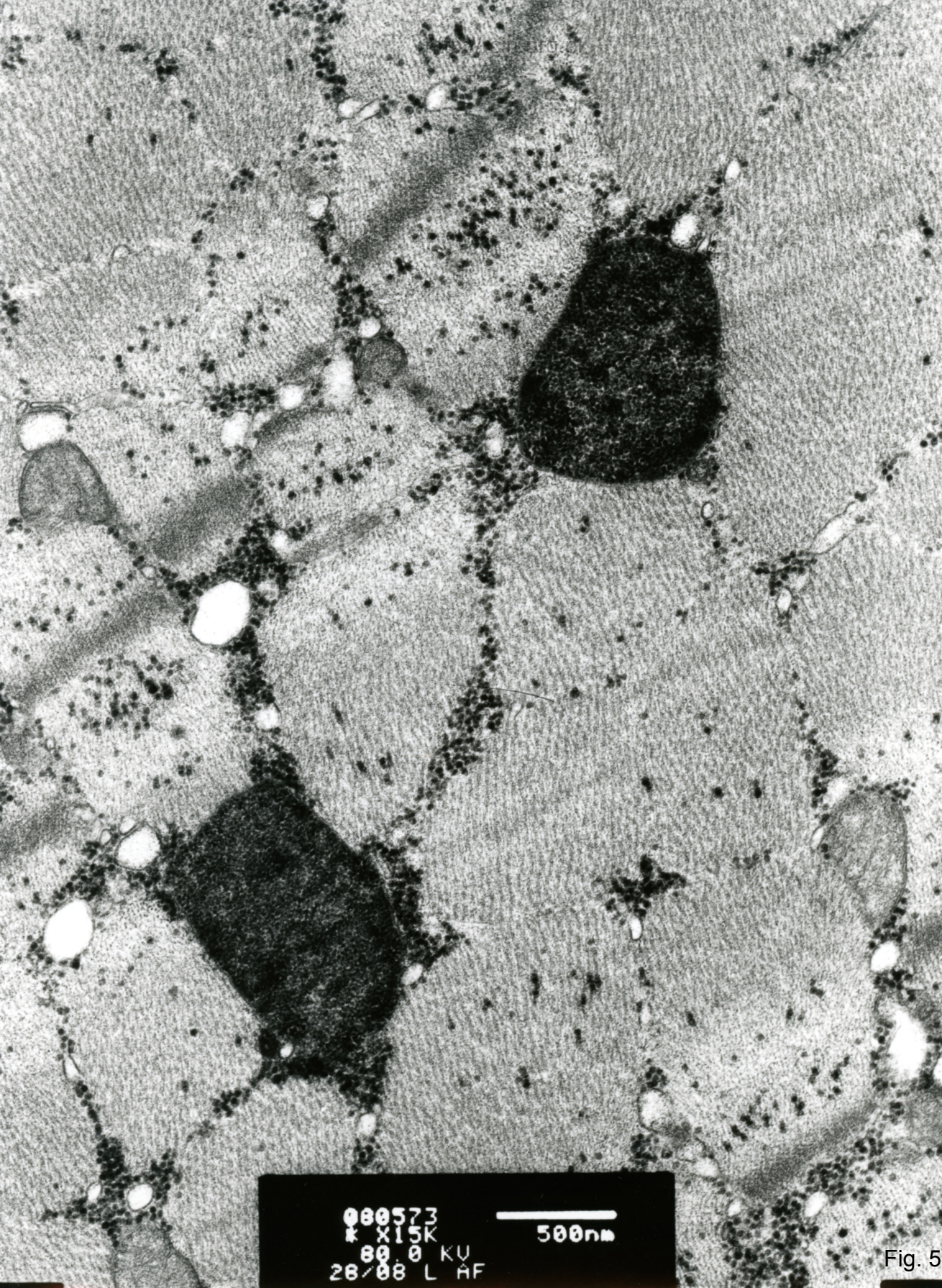
Fig. 3



080572
K X12K
80 0 KU
26/08 L AF

500nm

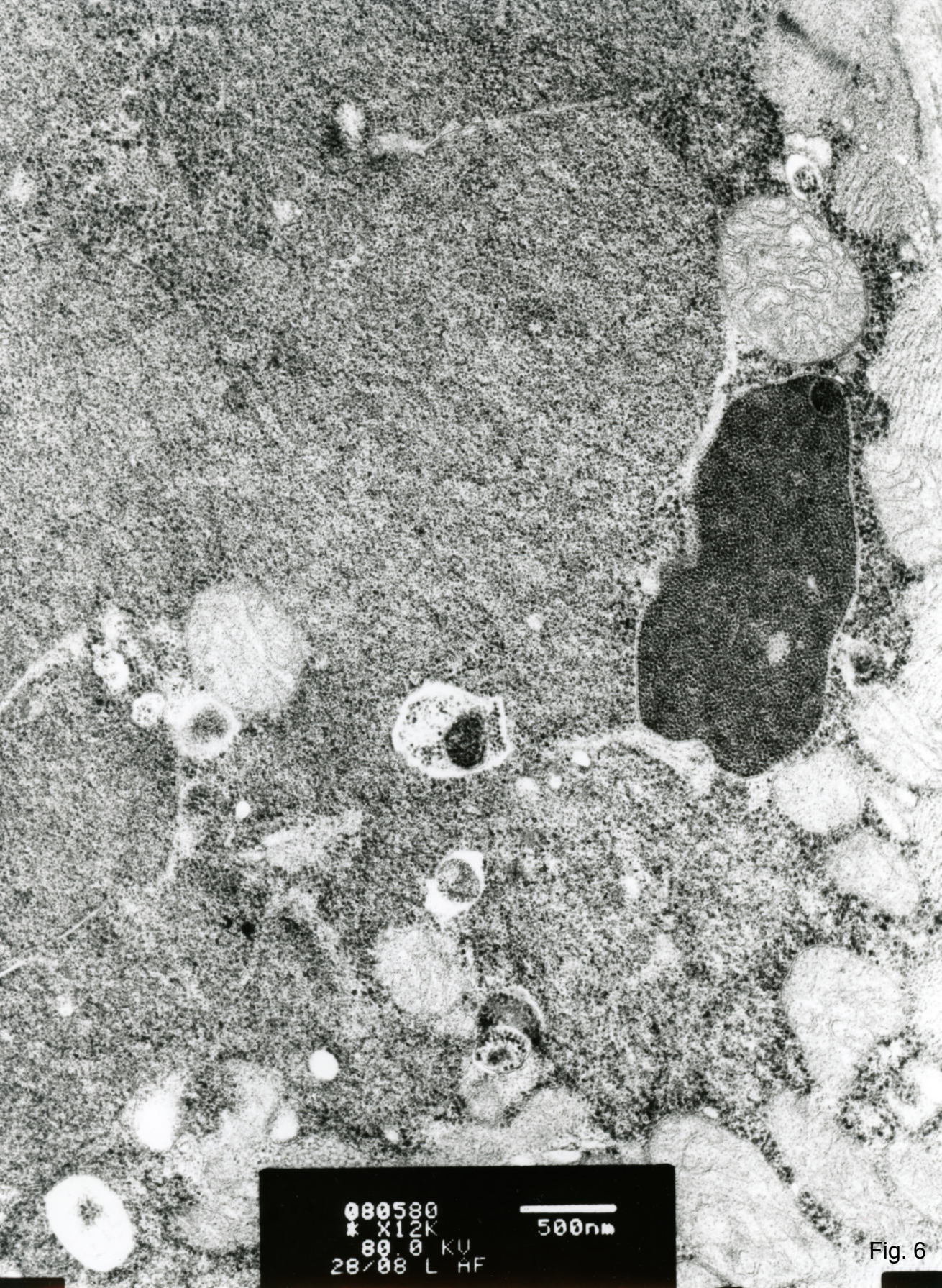
Fig. 4



080573
k X15K
80.0 KV
28/08 L AF

500nm

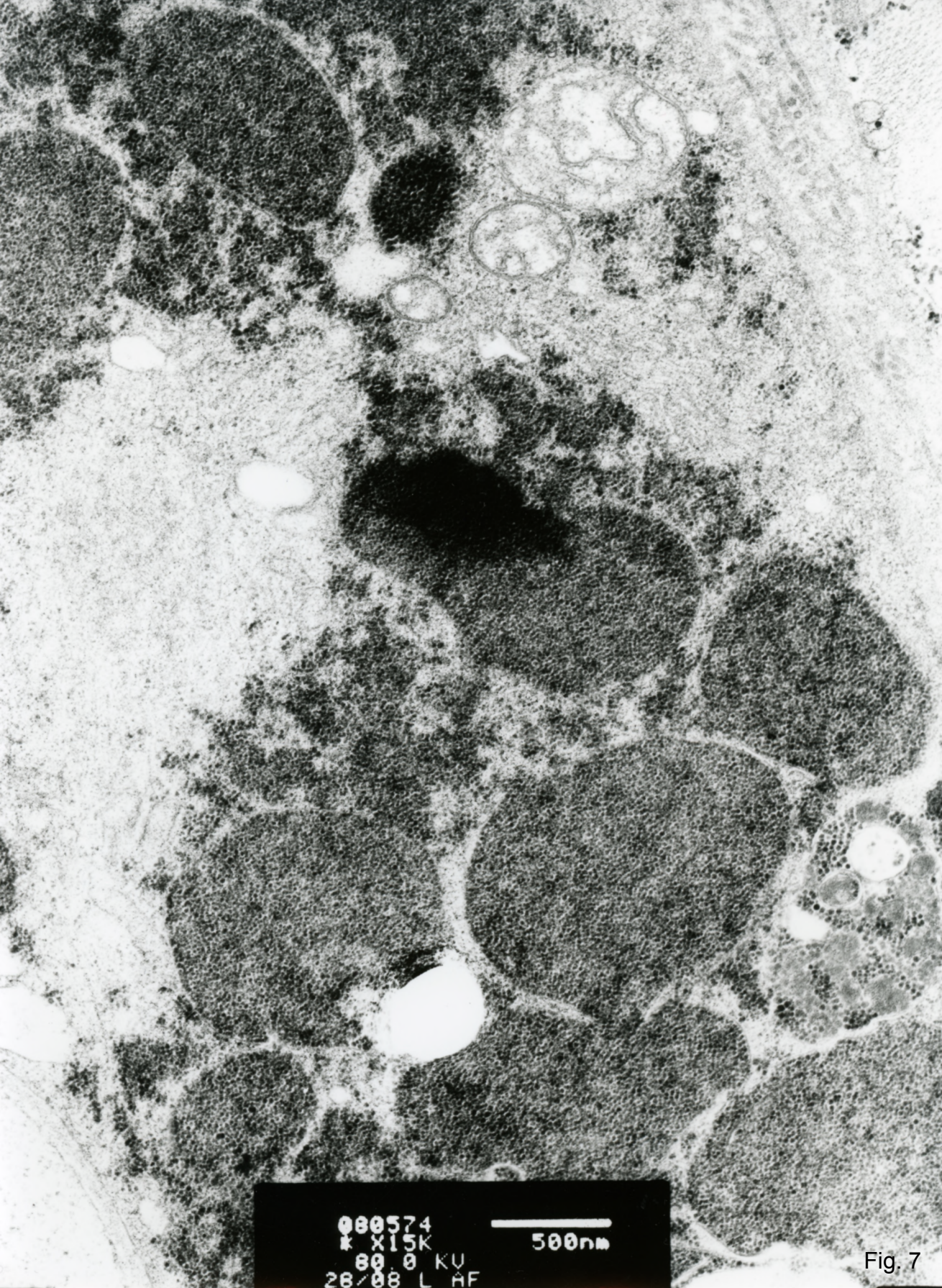
Fig. 5



080580
* X12K
80.0 KV
28/08 L HF

500nm

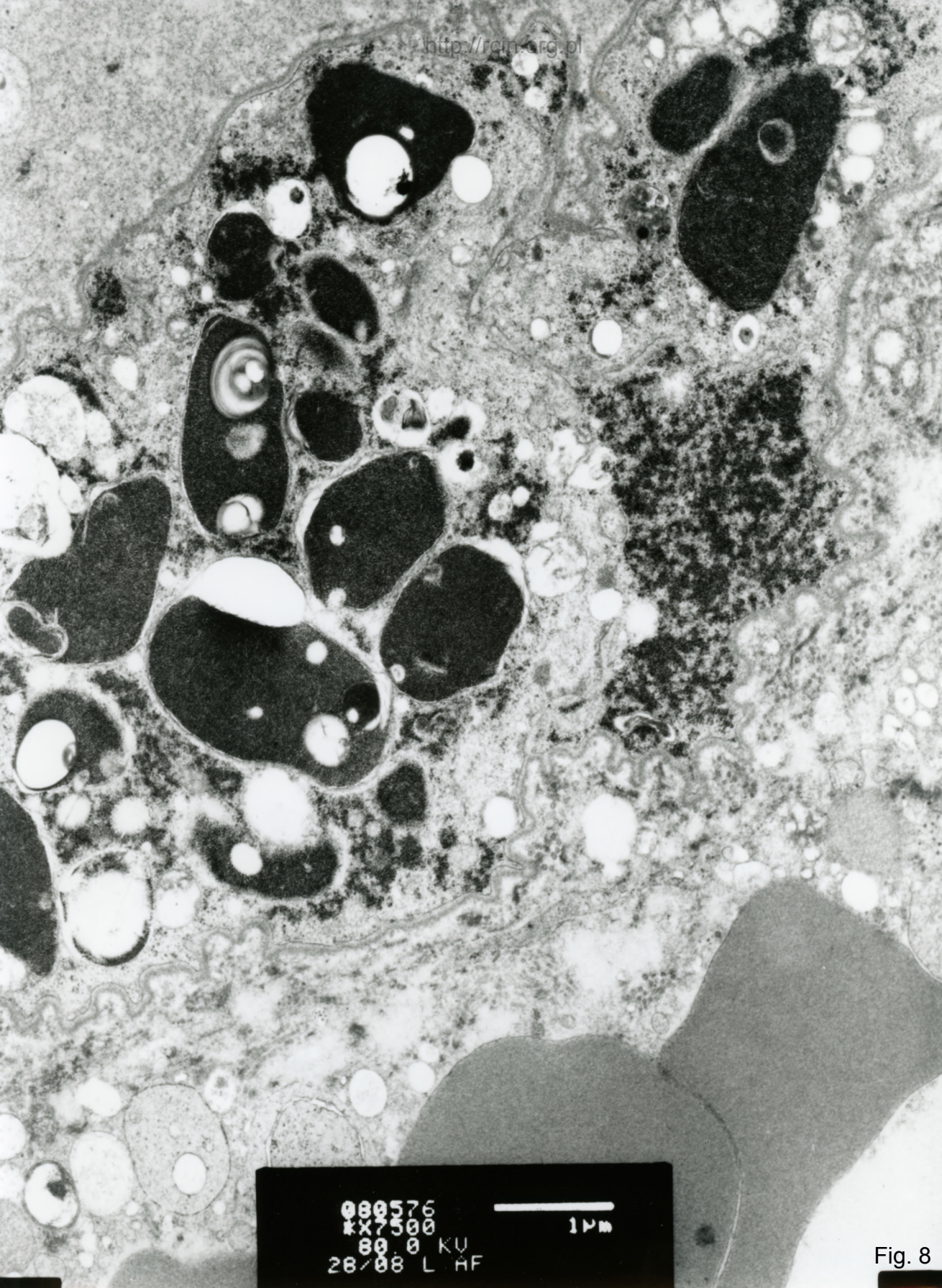
Fig. 6



000574
X15K
60.0 KU
26/08 L HF

500nm

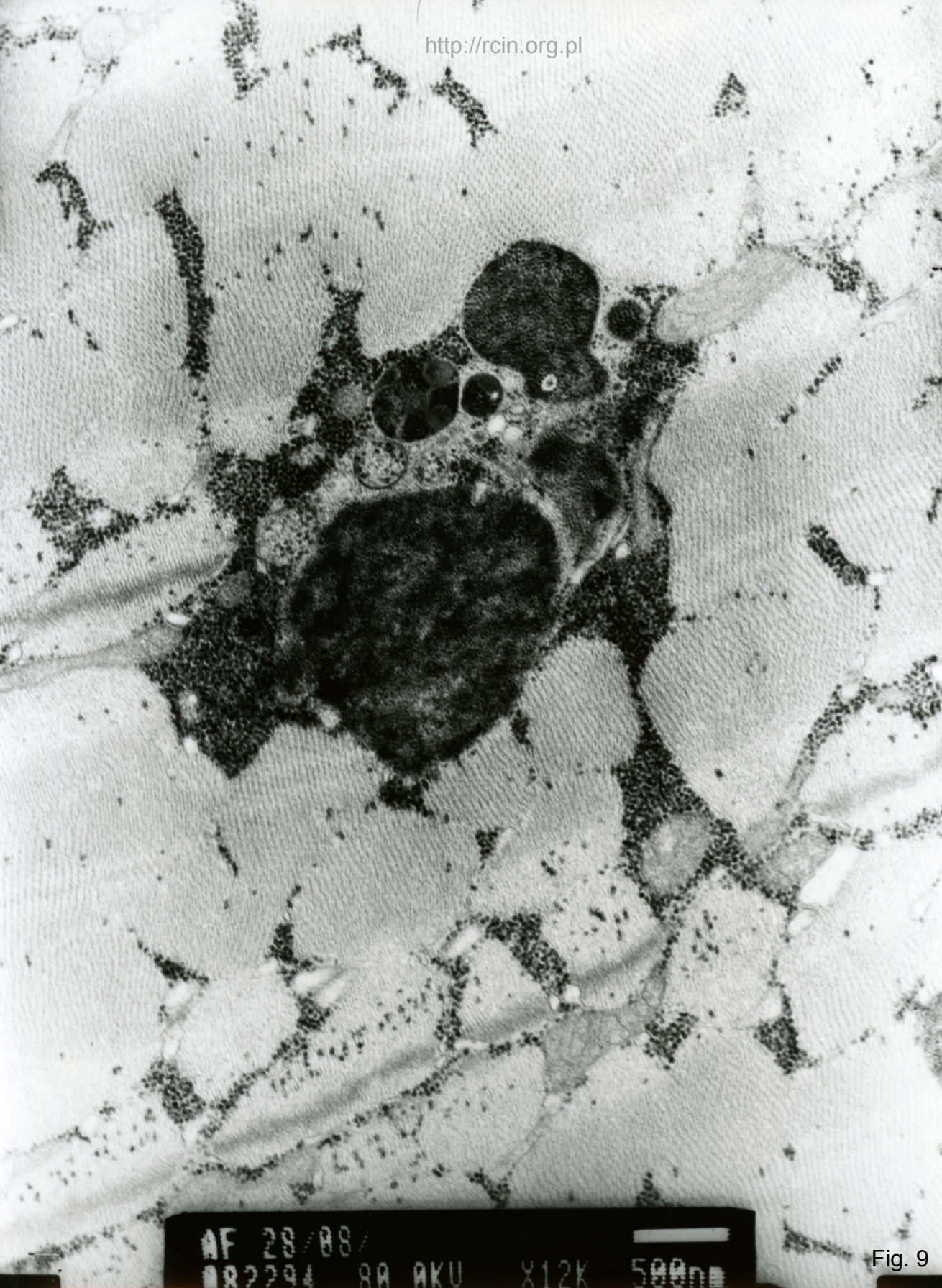
Fig. 7



000576
#X7500
80.0 KV
28/08 L HF

1 μm

Fig. 8



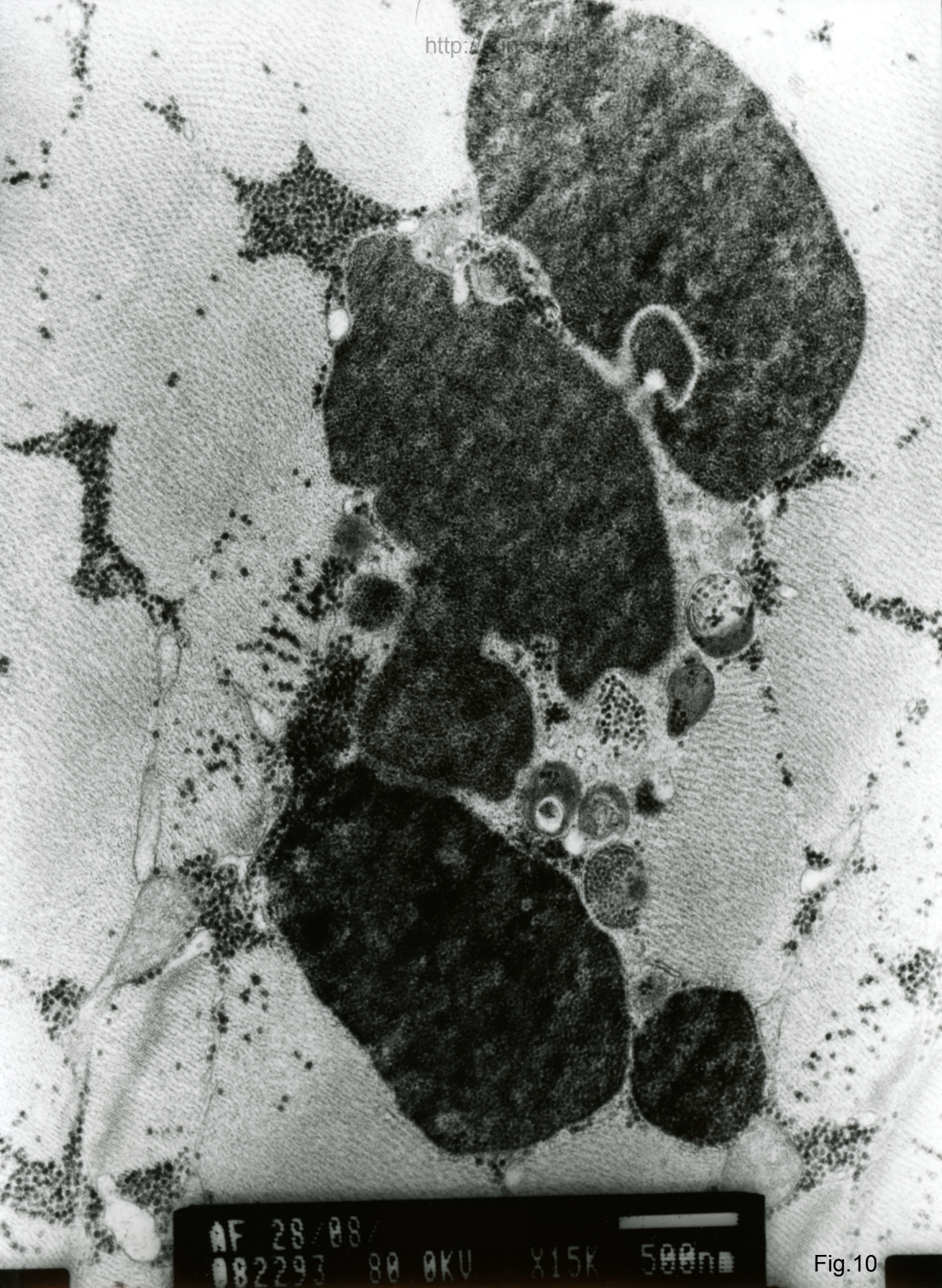
AF 28/88/

082294

8A AKU

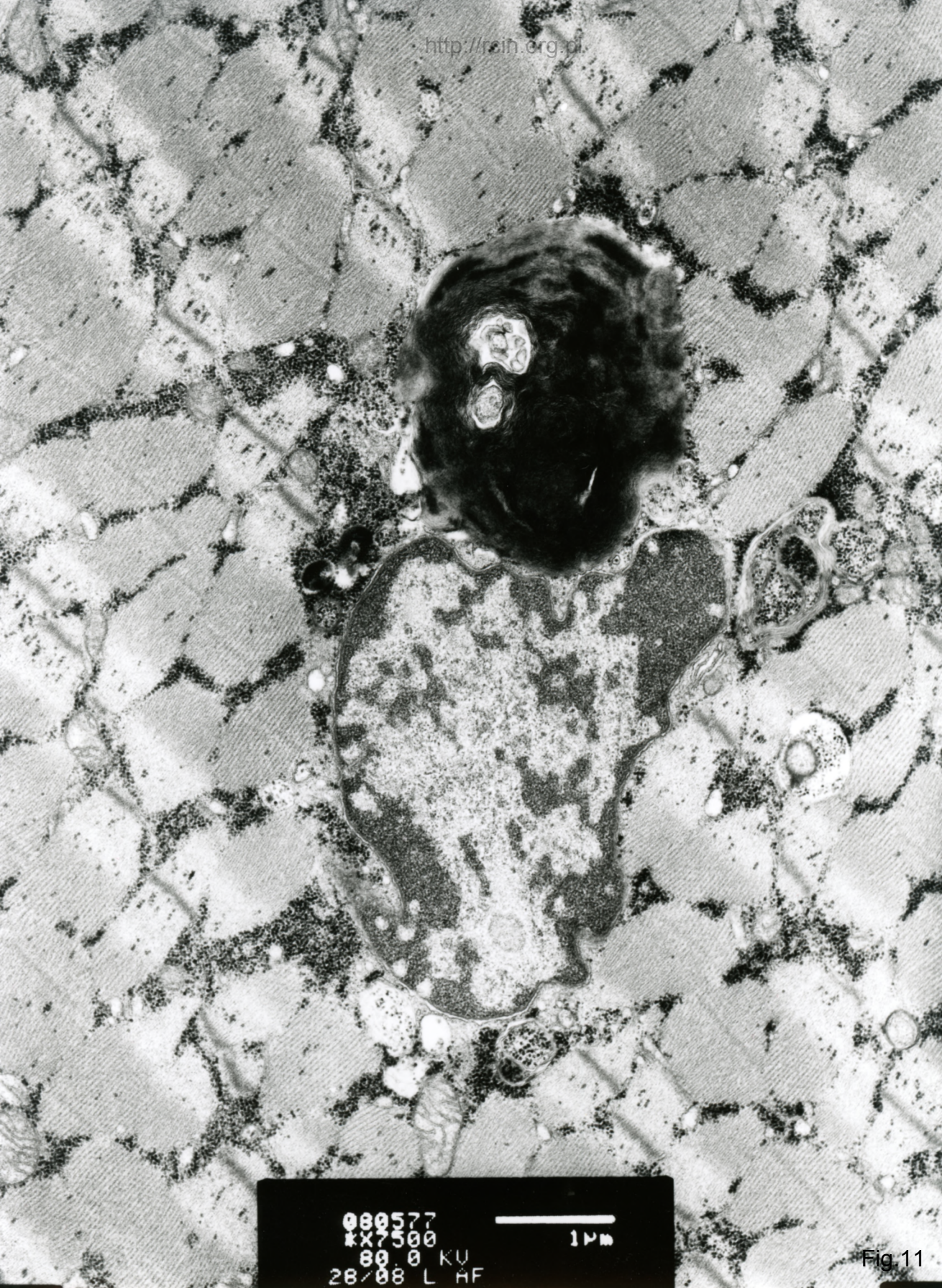
X12K

500nm



AF 28/08/
082293 80 0KV X15K 500nm

Fig. 10



080577
*X7500
80.0 KV
28/08 L AF

1µm

Fig. 11

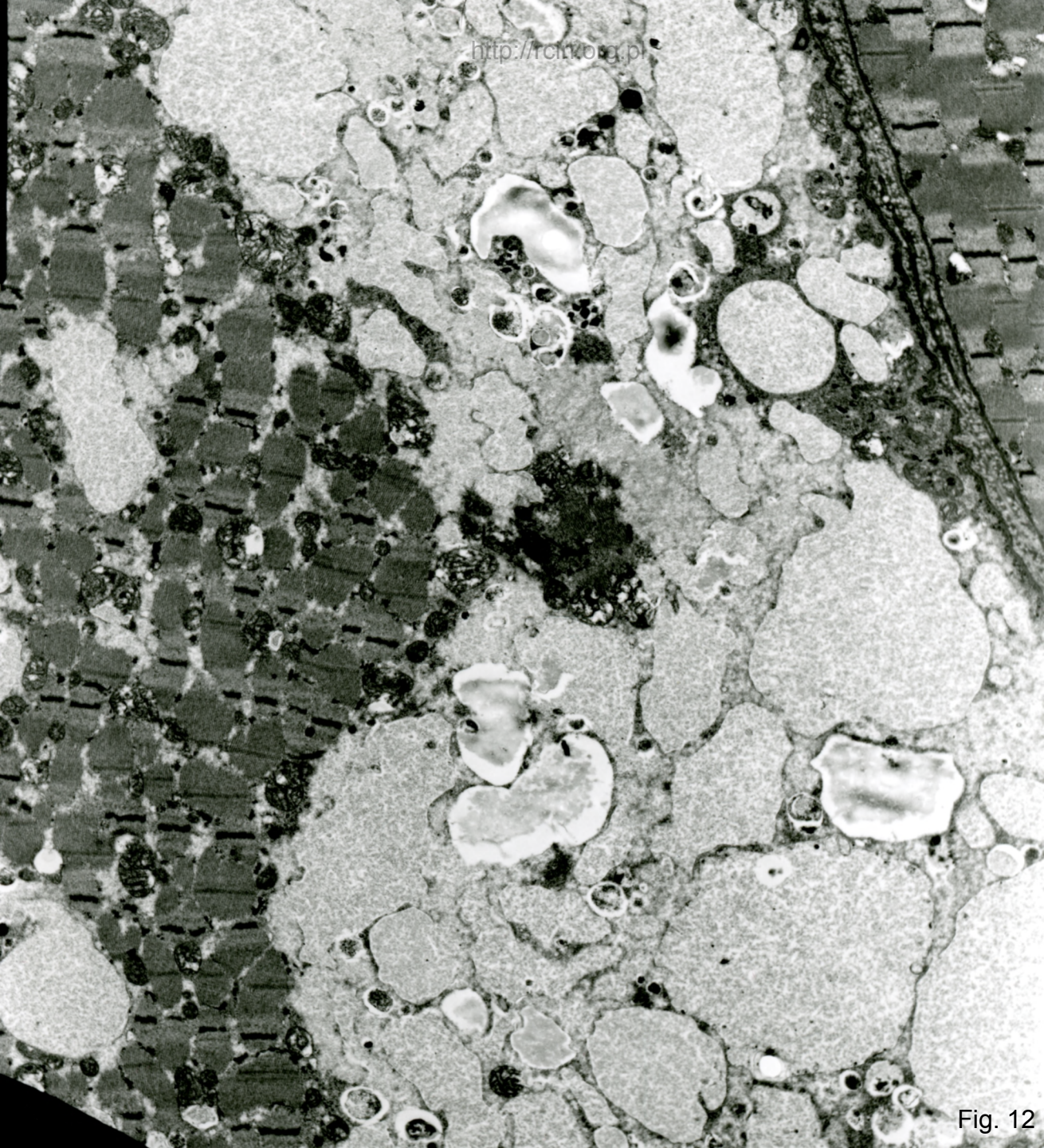


Fig. 12



AF 28/88/
082292 80 0KV X3000

24

Fig.13